

Křivky a plochy v počítačové grafice

I.Kolingerová

Obsah

- ◆ 1. Způsoby zadání
- ◆ 2. Aproximační křivky
- ◆ 3. Bézierovy křivky
- ◆ 4. B-spline křivky
- ◆ 5. NURBs křivky
- ◆ 6. Aproximační plochy



Literatura: např. J.Žára a kol.: Moderní počítačová grafika, 2.vyd., Computer Press, 2004

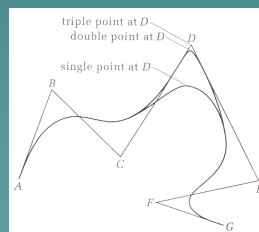
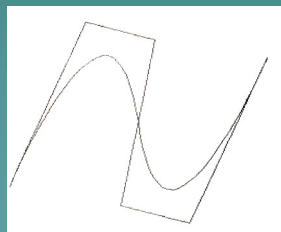
Obrázky: J.Žára a kol.: Moderní počítačová grafika, 2.vyd., Computer Press, 2004 a vlastní, pokud není uvedeno jinak

1. Způsoby zadání

- ♦ **Analytické** - explicitní, implicitní a parametrický popis
- ♦ **Interpolační** - zadané body, kt. má křivka-plocha procházet
- ♦ **Aproximační** - k zadaným bodům se jen přibližujeme, některými procházíme; v PG nejčastěji

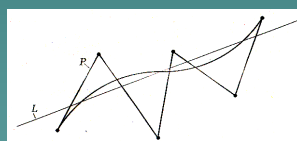
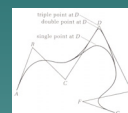
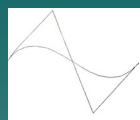
2. Aproximační křivky

- ♦ Zadány řídícími body, i násobnými (snížení řádu spojitosti)
- ♦ Polynomiální vztahy \Rightarrow při vysokém řádu numer. nestabilní \Rightarrow nejčastěji jen kubiky

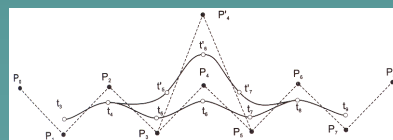


Požadavky

- ♦ Možnost ovlivňování tvaru pomocí říd. bodů
- ♦ Možnost zadávání násobných ř. bodů
- ♦ Nezávislost tvaru na volbě SS
- ♦ Pokud možno lokální řízení tvaru
- ♦ Dodržení požad. stupně spojitosti (též při skládání křivek/ploch)
- ♦ Odvozování tvaru z rozmístění říd.bodů, vyhlazování jejich odchylek
- ♦ Symetrie
- ♦ Jednoduchost výpočtu
- ♦ Vzhled - subjektivní
- ♦ Všestrannost



Obvykle metoda nesplňuje vše.



3. Bézierovy křivky

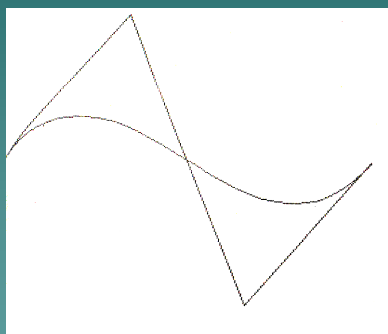
- ♦ Od cca 1960, francouzské automobilky
- ♦ Křivka stupně n zadána $n+1$ body

$$P(t) = \sum_{i=0}^n P_i B_i^n(t), t \in \langle 0,1 \rangle$$

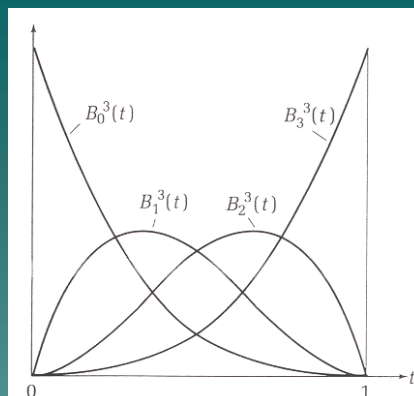
- ♦ kde t - parametr, P_i - řídicí body, B_i^n - Bernsteinovy polynomy

$$B_i^n(t) = \binom{n}{i} t^i (1-t)^{n-i}, i = 0, 1, \dots, n,$$

$$\binom{n}{0} = \binom{0}{0} = 1$$



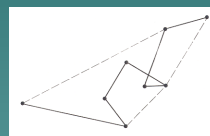
Ukázka Bézierovy křivky stupně 3



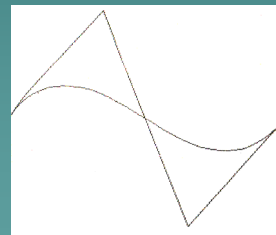
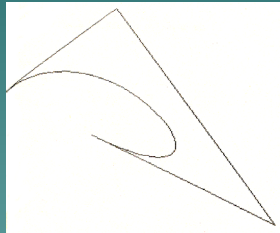
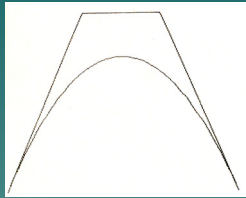
Bernsteinovy polynomy stupně 3

Vlastnosti Bézierovy křivky

- ◆ Začíná a končí v krajních zadaných bodech
- ◆ Bod ovlivňuje celou křivku
- ◆ Afinní invariance, invariance vůči afinní trans. Parametru
- ◆ Vlastnost konvexní obálky
- ◆ Zmenšování výchylek říd. bodů
- ◆ Pokud více bodů než $n+1$, buď růst stupně křivky nebo nutno navázat několik částí



Ukázky Bézierových křivek



Bézierovy kubiky s jejich řídící polygony

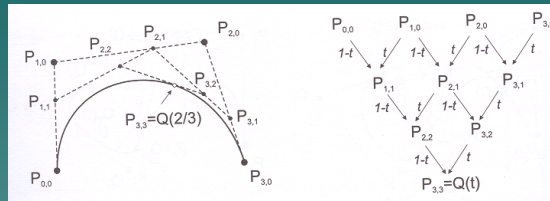
Výpočet

- ♦ **Algoritmus de Casteljaeu** - bod $P(t)$ postupným iteračním dělením úseček říd. polygonu poměrem $\sim t$

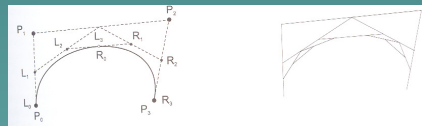
$$P_j^i = (1-t)P_{j-1}^{i-1} + tP_j^{i-1}, \\ i = 1, 2, \dots, n, j = i, i+1, \dots, n$$

- ♦ P_n^n je bodem křivky

Algoritmus de Casteljau



Výpočet bodu v $t=2/3$ a schéma výpočtu



Dělení řídicího polygonu na 2 části, konvergence ř.p. k Béz. křivce

4. B-spline křivky

- ◆ Není nutné zvyšovat stupeň křivky s růstem počtu bodů

$$P(t) = \sum_{i=0}^n P_i N_i^k(t), t \in \langle 0; t_n \rangle$$

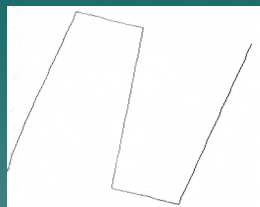
$$N_i^1(t) = \begin{cases} 1 & \text{pro } x_i \leq t < x_{i+1} \\ 0 & \text{v ostat. případech} \end{cases}$$

$$N_i^k(t) = \frac{(t - x_i) N_i^{k-1}(t)}{x_{i+k-1} - x_i} + \frac{(x_{i+k} - t) N_{i+1}^{k-1}(t)}{x_{i+k} - x_{i+1}}$$

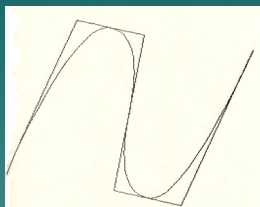
$$\frac{0}{0} = 0$$

kde t - parametr,
 P_i - řídicí body,
 N_i^k - bazové funkce,
 k - stupeň křivky
 $n+1$ - počet ř. bodů
 x_i - uzlový vektor

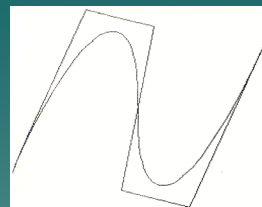
Ukázky B-spline křivek



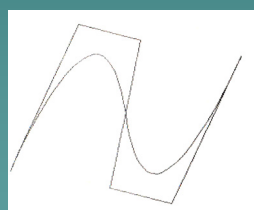
1. stupně



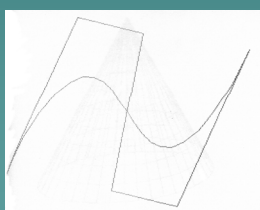
2. stupně



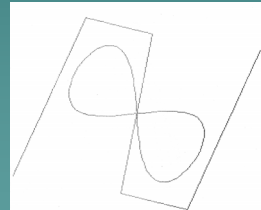
3. stupně



4. stupně



5. stupně



5. stupně periodická

Vlastnosti B-spline křivky

- ◆ Začíná a končí v krajních zadaných bodech
- ◆ Bod ovlivňuje jen k intervalů
- ◆ Afinity invariance, invariance vůči afinity trans. Parametru
- ◆ Vlastnost konvexní obálky
- ◆ Zmešování výchylek říd. bodů
- ◆ Pokud více bodů než $n+1$, není nutný ani růst stupně křivky ani navazování několika částí

Volba uzlového vektoru

- ♦ Pro neperiodické B-spline modelující otevřené křivky: celkem $k+n+1$ hodnot

$$x_i=0 \quad \text{pro } i = 0,1,\dots,k-1$$

$$x_i=i-k+1 \quad \text{pro } k \leq i \leq n$$

$$x_i=n-k+1 \quad \text{pro } i = n+1,n+2,\dots,n+k$$

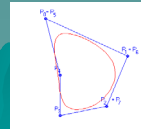
- ♦ Dostaneme $n-k+1$ segmentů

- ♦ Pro periodické B-spline modelující uzavřené křivky:

$$x_i=i, i=0,1,\dots,n+1$$

Pro tuto volbu nutná redukce báze fce na:

$$N_i^k(t) = N_0^k((t-i+n+1) \bmod (n+1))$$



Příklady 1

- ♦ B-spline zadaný 4 body, stupně 3, otevřený:
dostaneme 1 kubický segment
uzlový vektor je $(0,0,0,1,1,1,1)$
totožná křivka s Bézierovou kubikou
- ♦ B-spline zadaný 5 body, stupně 3, otevřený
dostaneme 2 kubické segmenty
uzlový vektor je $(0,0,0,1,2,2,2,2)$

Příklady 2

- ◆ B-spline zadaný 4 body, stupně 3, uzavřený:
dostaneme 4 kubické segmenty
uzlový vektor je $(0,1,2,3,4)$
křivka nezačíná a nekončí v zadaných bodech
- ◆ B-spline zadaný 5 body, stupně 3, uzavřený:
dostaneme 5 kubických segmentů
uzlový vektor je $(0,1,2,3,4,5)$
křivka nezačíná a nekončí v zadaných bodech

Coonsova B-spline křivka

- ◆ Uniformní kubická B-spline křivka, nezačíná a nekončí v krajních řídicích bodech

$$P_j(t) = \frac{1}{6} \sum_{i=0}^3 P_{j+i} C_i(t-j), t \in \langle j; j+1 \rangle, j = 0, \dots, n-3$$

$$C_0(s) = -s^3 + 3s^2 - 3s + 1 = (1-s)^3$$

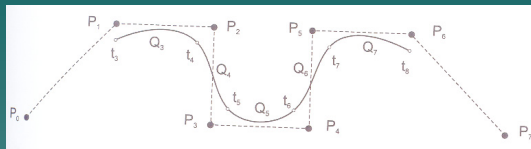
$$C_1(s) = 3s^3 - 6s^2 + 4$$

$$C_2(s) = -3s^3 + 3s^2 + 3s + 1$$

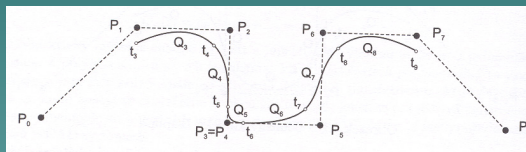
$$C_3(s) = s^3$$

- ◆ Výhoda: snazší výpočet než B-spline, snadné napojování, změna vrcholu ovlivní max. 4 segmenty

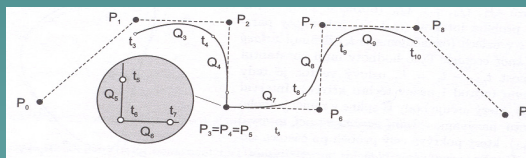
Ukázky - Coonsův kubický B-spline



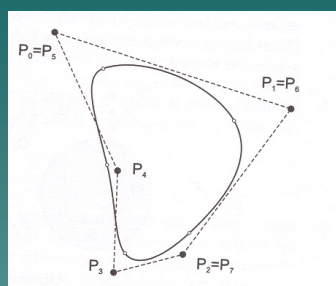
Dvojnásobný bod



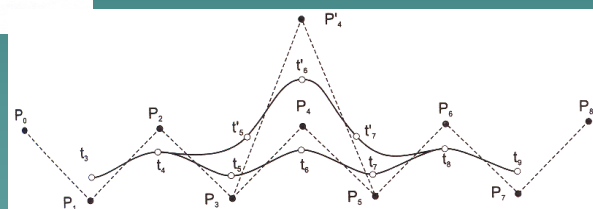
Trojnásobný bod



Ukázky - Coonsův kubický B-spline



Uzavřený spline



Lokalita změny tvaru při změně polohy říd. bodu

5. NURBs křivky

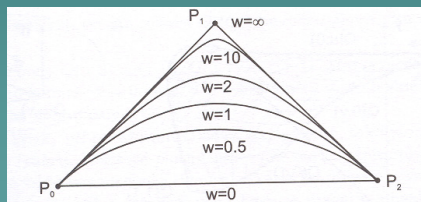
- ◆ Neuniformní racionální B-spline křivky
- ◆ Neuniformní - o parametru, racionální - o váhách bodů a dělení sumou vah

$$P(t) = \frac{\sum_{i=0}^n w_i P_i N_i^k(t)}{\sum_{i=0}^n w_i N_i^k(t)}$$

w_i - váhy řídicích bodů, obvykle nezáporné

Vlastnosti NURBs křivky

- ◆ Jako B-spline, ale umí vyjádřit i kuželosečky (např. kružnici) a širší možnosti řízení
- ◆ Pro jednotkové váhy totožné s B-spline křivkou, pro $n+1$ bodů a stupeň n s Bézierovou

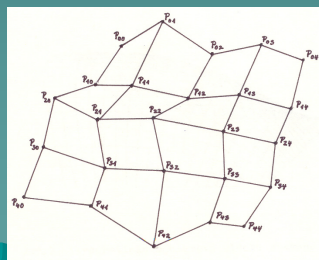


Výpočet

- ♦ **Algoritmus Cox-de Boorův** - zobecnění de Casteljau, postupné dělení úseček říd. polygonu v těch částech, kt. ovlivňují současný segment

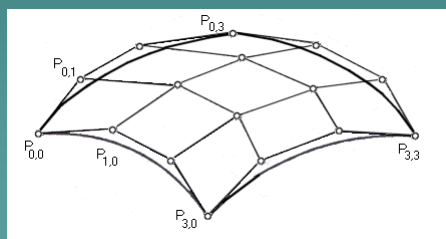
6. Aproximační plochy

- ♦ Zadány maticí řídicích bodů (tvoří síť nebo mapu plochy, řídicí mnohostrany)
- ♦ Vztahy kombinací říd. bodů a vždy 2 bazových f-cí pro 2 parametry
- ♦ Vlastnosti odpovídají křivkám, z nichž složeny



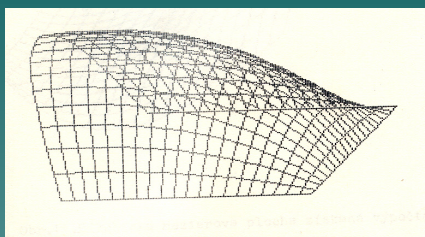
Bézierovy plochy

$$P(u, v) = \sum_{i=0}^m \sum_{j=0}^n B_i^m(u) P_{i,j} B_j^n(v), u, v \in \langle 0; 1 \rangle$$

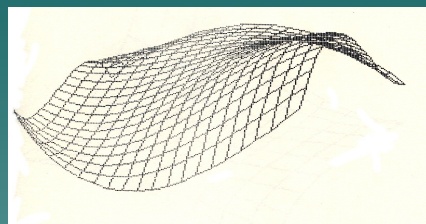


Bézierův bikubický plát

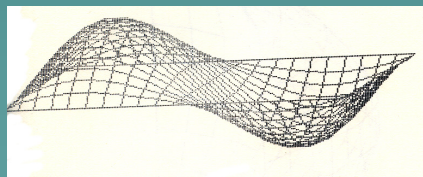
Ukázky Bézierových ploch



Bikvadratická

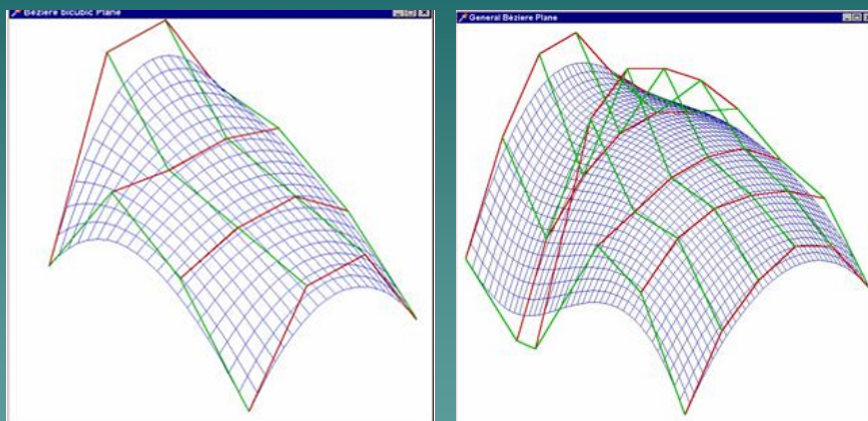


Bikubická



Stupně 3 a 5

Ukázky Bézierových ploch

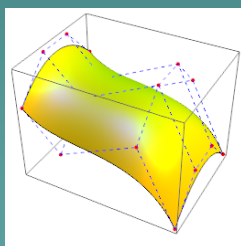


Obr.: http://mathonline.fme.vutbr.cz/pg/Algoritmy/07_TECHNICKE_PLOCHY.htm

Aproximační plochy

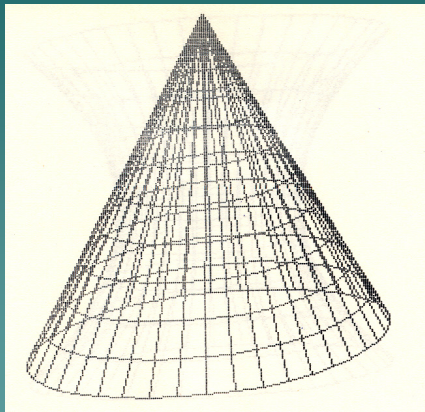
B-spline plochy

$$P(u, v) = \sum_{i=0}^m \sum_{j=0}^n N_i^k(u) P_{i,j} N_j^l(v), u, v \in \langle 0; t_n \rangle$$

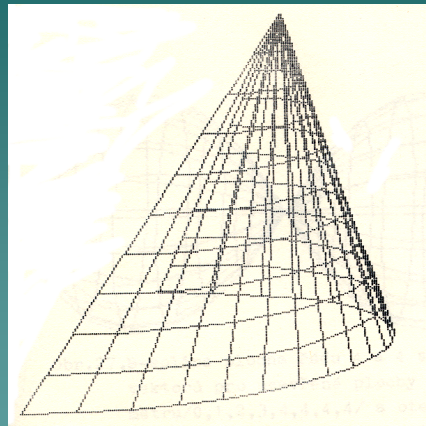


Obr.: http://blog.wolfram.com/wp-content/uploads/2009/01/splines_in28.png

Ukázky B-spline ploch

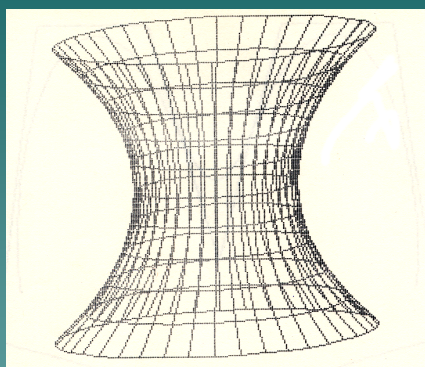


Stupně 1 (periodická) a
3 (neperiodická)

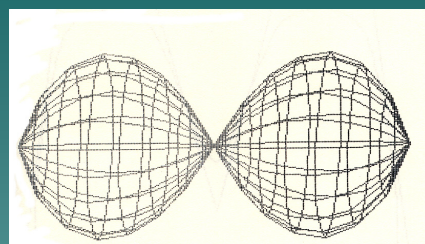


Stupně 1 a 3 (2x neperiodická)

Ukázky B-spline ploch

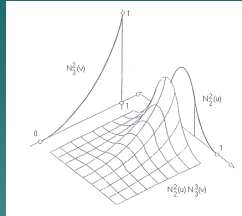


Stupně 2 (neperiodická) a
3 (periodická)

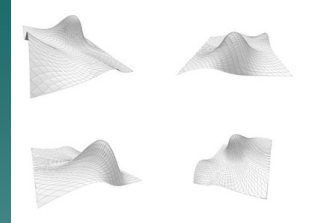


Stupně 3 (periodická) a
3 (neperiodická)

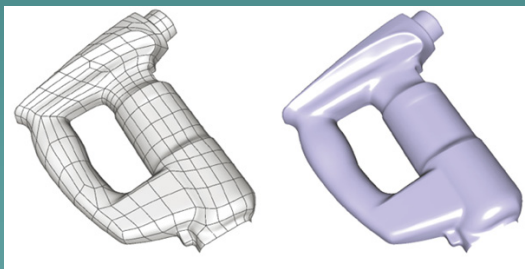
Ukázky B-spline ploch



Plocha $N_2^2(u)N_3^3(v)$



Obr.: <http://martha.pnoe.net/blog/wp-content/uploads/2006/10/surfaces.jpg>

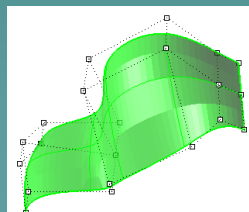


Obr.: <http://graphics.c.u-tokyo.ac.jp/~kanai/archives/uploads/2008/04/spray.png>

Aproximační plochy

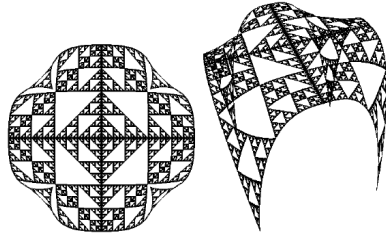
NURBs plochy

$$P(u, v) = \frac{\sum_{i=0}^m \sum_{j=0}^n w_{i,j} P_{i,j} N_i^k(u) N_j^l(v)}{\sum_{i=0}^m \sum_{j=0}^n w_{i,j} N_i^k(u) N_j^l(v)}$$

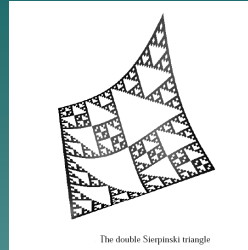


Obr.: H. Novotná: Modelování v prostoru, 2009

Aproximační plochy



A top and perspective views of a fractal bicubic surface generated by an L-system



The double Sierpinski triangle



Branching structures as the result of tensor product surface rewriting

Kolingerová I., Märtz P., Beneš B.:
Tensor Product Surfaces as
Rewriting Process, Proceedings
of the Spring Conference on
Computer Graphics,
Častá-Papiernička, Slovakia, 2006,
pp.107-112